

УДК 544.225.2

**РОЛЬ ПОДРЕШЕТОК В ФОРМИРОВАНИИ ЭЛЕКТРОННОЙ СТРУКТУРЫ  
И ХИМИЧЕСКОЙ СВЯЗИ В КРИСТАЛЛЕ  $Zn_2SiO_4$  С РЕШЕТКОЙ  
ДЕФЕКТНОГО ХАЛЬКОПИРИТА**

© 2012 Ю.М. Басалаев\*, С.А. Маринова

Кемеровский государственный университет

Статья поступила 20 октября 2010 г.

С доработки — 28 февраля 2011 г.

Из первых принципов с использованием метода функционала плотности исследовано влияние подрешеток на электронное строение кристаллов  $Zn_2SiO_4$ . Из анализа зонных спектров и его подрешеток установлена различная роль катионов Zn и Si в формировании структуры валентных зон, что обусловлено кристаллической структурой и взаимодействием атомов в катионных тетраэдрах  $SiO_4$  и  $ZnO_4$ .

**Ключевые слова:** функционал плотности, метод подрешеток, халькопирит.

Монокристаллы  $Zn_2SiO_4$  (виллемит) и нанокомпозиты с их включением являются основой для создания люминофоров, обеспечивающих зеленую компоненту электронно-лучевых трубок плоскоэкраных дисплеев, лазеров для видимой области и сенсоров [ 1—7 ]. Востребованность виллемита в современных технологиях и отсутствие теоретических работ, посвященных детальному изучению его электронного строения, определяют актуальность нашего исследования, посвященного изучению генезиса электронной структуры кристалла  $Zn_2SiO_4$  из подрешеточных состояний.

Параметры кристаллической структуры, отвечающей структуре дефектного халькопирита (пространственная группа симметрии  $D_{2d}^{12}$ ), получены в [ 1 ] и имеют следующие значения: постоянные кристаллической решетки  $a = 7,007$ ,  $c = 6,464 \text{ \AA}$ ; тетрагональное сжатие —  $\gamma = c/a = 0,9225$ ; расстояния между катионами (Zn, Si) и анионами (O) соответственно  $R_{Zn-O} = 1,976$  и  $R_{Si-O} = 1,615 \text{ \AA}$ . Поскольку значения параметров  $a$  и  $c$  близки по величине, то кристаллическая ячейка виллемита похожа на куб. Вследствие этого кристалл  $Zn_2SiO_4$  является "сильно сжатым" ( $\gamma \ll 2$ ) вдоль тетрагональной оси и лишь по симметрии подобен халькопириту. Наряду с подобием имеются и отличия, например, в координационных числах, которые в халькопирите у всех атомов одинаковы и равны 4. В кристалле  $Zn_2SiO_4$  катионы Zn и Si также тетраэдрически окружены атомами O, тогда как в окружении анионов (O) имеются симметрично расположенные вакантные места из-за "недостатка" атомов Si.

**МЕТОДЫ И ПАРАМЕТРЫ РАСЧЕТА**

Расчет электронной структуры кристалла  $Zn_2SiO_4$  выполнен на основе метода функционала плотности в его локальном приближении (DFT-LDA) с использованием *ab initio* PWscf моделирующего пакета программ [ 8 ] и ультрамягких псевдопотенциалов Вандербильда [ 9 ], генерированных программой PWscf. Энергия обрыва базиса плоских волн составляла 40 Ry, что обеспечивает сходимость по полной энергии лучше 5 мэВ/атом. Энергетическую структуру  $Zn_2SiO_4$  вычисляли в точках высокой симметрии зоны Бриллюэна кристалла и вдоль соединяющих их линий. Для вычисления электронной плотности состояний применяли схему метода специаль-

\* E-mail: ymbas@kemsu.ru

ных точек Монкхорста—Пака с сеткой  $24 \times 24 \times 24$ . Параметры постоянных кристаллической решетки брали из работы [1]. На основе этих параметров проводили процедуру оптимизации геометрии кристаллов, которая показала, что новые параметры отличаются от исходных значений в пределах 2,4 %.

Для детального анализа энергетической структуры и химической связи в кристалле  $Zn_2SiO_4$  использовали метод подрешеток, принципы реализации которого применительно к кристаллам с решеткой халькопирита изложены в работе [10]. Согласно методу подрешеток кристалл  $Zn_2SiO_4$  может быть представлен как совокупность отдельных подрешеток ( $Zn$ ,  $Si$ ,  $O$ ) или подрешеточных систем ( $ZnO_4$ ,  $SiO_4$ ), определяющих ближний порядок в кристалле.

#### АНАЛИЗ ЗОННОЙ СТРУКТУРЫ КРИСТАЛЛА И ПОДРЕШЕТОК

Вычисленная из первых принципов структура энергетических зон кристалла  $Zn_2SiO_4$  с решеткой, подобной халькопириту, показана на рис. 1. Установлено, что валентная зона виллемита, как и большинство кристаллов семейства халькопирита, может быть разделена на три разрешенные подзоны: первая состоит из двух связок энергетических ветвей в интервале энергий от  $-19,1$  до  $-16,5$  эВ; вторая — малодисперсная связка из двух ветвей вблизи  $-7$  эВ; третья — широкая полоса разрешенных значений энергии со сложной топологией, расположенная в интервале от  $-6$  до  $0$  эВ.

Структура вершины валентной зоны кристалла  $Zn_2SiO_4$  такова, что в направлении, совпадающем с главной оптической осью ( $\Gamma$ —T) и перпендикулярном к ней ( $\Gamma$ —N—P), имеется большое число энергетически близких локальных экстремумов. Возможно, этим объясняется успешное практическое использование виллемита в качестве основы для люминофоров. Дно зоны проводимости реализуется в точке с симметрией  $\Gamma_1$ . Оптическая ширина запрещенной зоны равна 3,06 эВ.

На рис. 1 также представлен расчет зонных спектров отдельных подрешеток, образованных из атомов цинка, кремния и кислорода, а также подрешеточных систем из тетраэдров  $ZnO_4$  и  $SiO_4$ , которые при сравнении между собой и зонным спектром кристалла позволяют установить особенности изменения топологии отдельных связок зон, обусловленные взаимодействием между катионными и анионными подрешетками. Установлено, что нерасщепленная  $d$ -зона атомов  $Zn$ , расположенная в области  $-6$  эВ в зонном спектре подрешетки цинка, при взаимодействии с подрешеткой кислорода в тетраэдре  $ZnO_4$  заметно уширяется. Этот эффект усиливается в кристалле благодаря влиянию атомов кремния. Валентные  $s$ -зоны атомов цинка, хорошо заметные в подрешетке  $Zn$  и имеющие характерный для  $s$ -состояний вид, при "включении" взаимодействия с  $p$ -электронами атомов кислорода в тетраэдре  $ZnO_4$  в кристалле становятся практически неразличимыми из-за подавляющего вклада  $p$ -состояний атомов кислорода.

В подрешетке атомов кислорода  $s$ - и  $p$ -состояния имеют малодисперсный характер и разделены широким интервалом запрещенной энергии. Сравнение зонных спектров тетраэдров  $ZnO_4$  и  $SiO_4$  с подрешетками атомов  $Zn$ ,  $Si$  и  $O$  показывает, что эффекты взаимодействия подрешеток катионов разного сорта ( $Zn$ ,  $Si$ ) с подрешеткой аниона ( $O$ ) — качественно различны. Взаимодействие подрешеток  $Zn$  и  $O$  имеет общую тенденцию к уширению  $s$ - и  $p$ -зон атомов

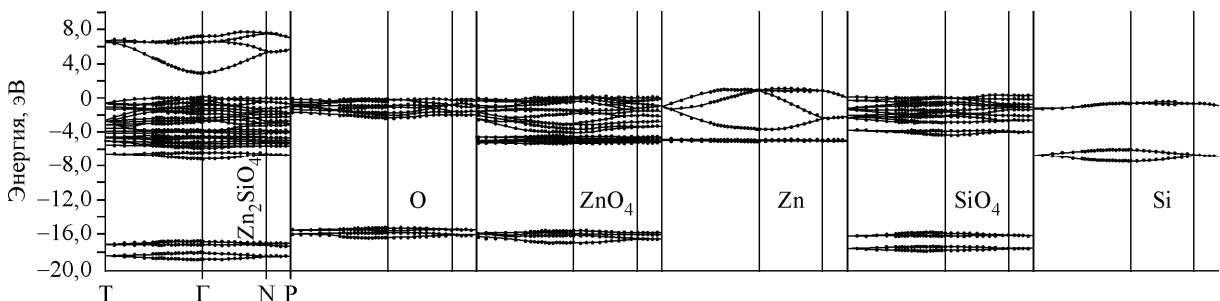


Рис. 1. Зонная структура кристалла, подрешеток  $Zn$ ,  $O$ ,  $Si$  и тетраэдров  $ZnO_4$  и  $SiO_4$

кислорода. Влияние подрешетки Si на *s*- и *p*-состояния O сопровождается разделением *s*-зон кислорода на две подзоны с интервалом энергий более 1 эВ. При этом *s*-состояния кремния в тетраэдре  $SiO_4$  сохраняют свою обособленность, но становятся уже, а в кристалле этот эффект ослабляется, что можно объяснить наличием *d*-зон атомов цинка, которые расположены в зонном спектре между *s*-зонами Si и *p*-зонами O и выполняют роль своеобразной "экранировки".

Таким образом, сопоставление зонных спектров кристалла, его подрешеток и подрешеточных систем, ответственных за взаимодействие в кристалле, дает информацию об участии атомов разного сорта в образовании зонной структуры. Эта информация дополняет данные, которые можно получить с помощью вычисления полной и парциальных плотностей состояний  $N(E)$ .

Расчет и анализ полной и парциальных плотностей электронных состояний  $N(E)$  кристалла  $Zn_2SiO_4$  позволил определить генезис отдельных зон и его зонной структуры в целом. Как показал расчет  $N(E)$ , две нижние связки валентных зон образованы в основном из *s*-состояний кислорода, с малым вкладом *s*- и *p*-состояний кремния. Следующая узкая разрешенная полоса энергий (от -7,5 до -6 эВ) — из сравнения зонных спектров кристалла, подрешеток Si, O и тетраэдра  $SiO_4$  (см. рис. 1) должна содержать преимущественный вклад *s*-состояния Si. Анализ же полной и парциальных плотностей свидетельствует о наличии существенных вкладов в эту связку *d*-состояний Zn и *p*-состояний O. Интенсивные и малодисперсные энергетические полосы в области от -6 до -3,5 эВ содержат преимущественный вклад *d*-состояний атомов Zn. Верхняя часть валентной зоны кристалла (от -3,5 до 0 эВ) включает в основном вклад *p*-состояний O, к которому примешиваются *d*-состояния атомов Zn.

#### РАСПРЕДЕЛЕНИЕ ЭЛЕКТРОННОЙ ПЛОТНОСТИ

Построенные карты распределения электронной плотности  $\rho(\mathbf{r})$  в плоскости, содержащей атомы разного сорта, дают представление об образовании химической связи между катионами (Zn, Si) и анионами (O) в кристалле виллемита. На рис. 2 приведены карты  $\rho(\mathbf{r})$  для кристалла  $Zn_2SiO_4$ , подрешеток Zn, Si, O и катионных тетраэдров  $ZnO_4$  и  $SiO_4$ .

Распределение  $\rho(\mathbf{r})$  в подрешетках катионов Zn и Si показывает, что электронная плотность сосредоточена на самих атомах и имеет сферический вид, т.е. ковалентная составляющая связи

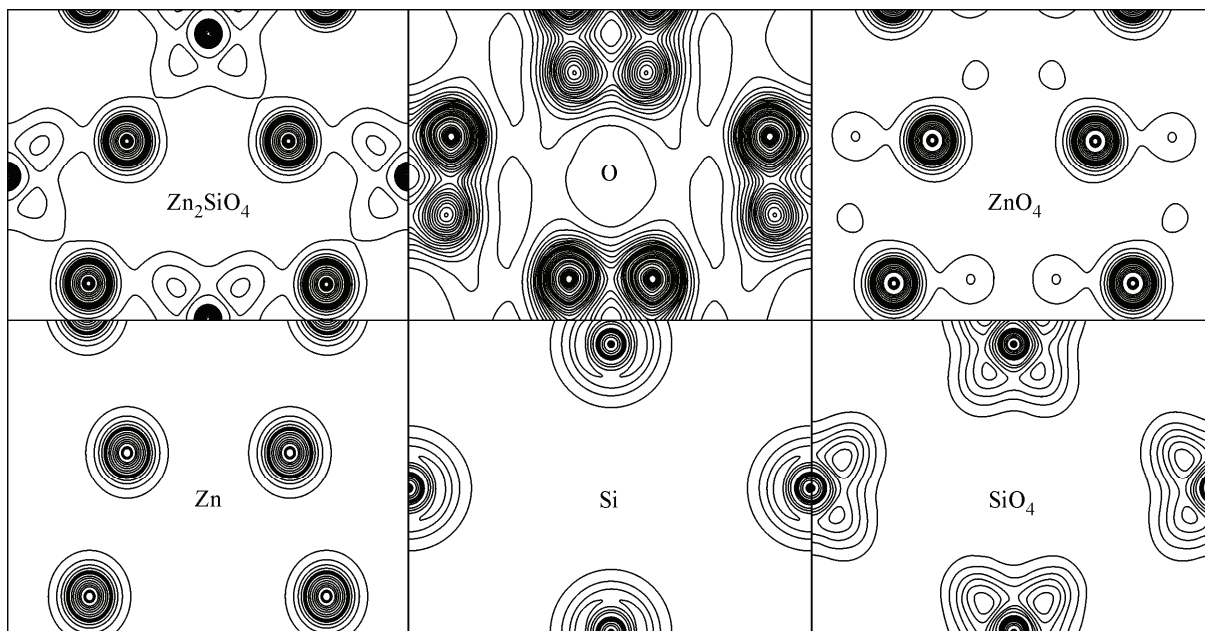


Рис. 2. Карты распределения электронной плотности кристалла, подрешеток Zn, O, Si и тетраэдров  $ZnO_4$  и  $SiO_4$

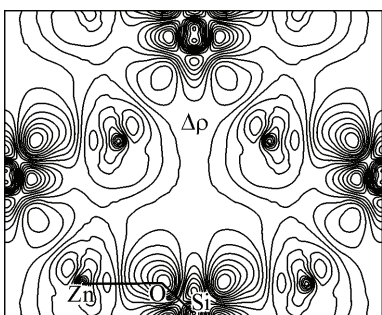


Рис. 3. Карта распределения разностной плотности кристалла виллемита

отсутствует. Вид распределения  $\rho(\mathbf{r})$  в подрешетке анионов свидетельствует о наличии связей между близко расположеными атомами кислорода О—О по типу молекулярных комплексов, что характеризуется наличием общих контуров, охватывающих ближайших соседей. В картах  $\rho(\mathbf{r})$  катионных тетраэдров  $ZnO_4$  и  $SiO_4$  прослеживается результат перераспределения электронной плотности при образовании, соответственно, связей между катионами одного сорта и анионами ( $Zn$ —O и  $Si$ —O) в отсутствие катиона другого сорта. Связь Si—O является более ковалентной, чем связь Zn—O. Карта распределения полной электронной плотности кристалла содержит суммарный вклад этих эффектов и включает также обменный механизм образования химической связи.

Более полную картину о ковалентном характере связи в кристалле  $Zn_2SiO_4$  дает карта распределения разностной электронной плотности  $\Delta\rho(\mathbf{r})$ , показывающая избытки электронной плотности в пространстве между атомами, образующими виллемит (рис. 3).

Расчет  $\Delta\rho(\mathbf{r})$  и анализ карты распределения разностной плотности показал наличие заряда на обеих связях Zn—O и Si—O. Установлено, что эти связи неравноценны: связь Zn—O является более слабой по взаимодействию и ионной по природе, а связь Si—O — более ковалентной и более прочной.

Анализ заселенностей в модели Левдина, "разделяющей" заряды  $Q_s$ ,  $Q_p$  и  $Q_d$  (в ед.  $e$ ) на атомах, показал, что в кристалле при образовании химических связей Zn—O и Si—O происходит перераспределение заряда от катионов Zn ( $\sum Q = 10,5$ ;  $Q_s = 0,5$ ,  $Q_p = 0,0$ ,  $Q_d = 10,0$ ) и Si ( $\sum Q = 2,4$ ;  $Q_s = 0,7$ ,  $Q_p = 1,7$ ) к анионам O ( $\sum Q = 7,0$ ;  $Q_s = 1,7$ ,  $Q_p = 5,3$ ).

## ЗАКЛЮЧЕНИЕ

Выполненные из первых принципов расчеты электронного строения кристалла  $Zn_2SiO_4$  со структурой дефектного халькопирита позволили установить особенности зонной структуры и образования химических связей, обусловленные его кристаллической структурой и химическим составом. Благодаря использованию метода подрешеток установлен генезис энергетической зонной структуры кристалла  $Zn_2SiO_4$  из его подрешеточных состояний и определена роль каждого атома в формировании зон, а также выявлены изменения в валентной зоне кристалла, возникающие вследствие взаимодействия между атомами в тетраэдрах  $ZnO_4$  и  $SiO_4$ .

Работа выполнена в рамках целевой программы "Развитие научного потенциала высшей школы" 2009—2010 гг., регистрационный номер 2.1.1/1230.

## СПИСОК ЛИТЕРАТУРЫ

1. Marumo F., Syono Y. // Acta Crystallogr. B. – 1971. – **27**, N 10. – P. 1868.
2. Марковский Л.Я., Миронов И.А., Казанкин О.Н. Неорганические люминофоры. – Л.: Химия, 1975.
3. Fleming J.G., Shawn-Yu Lin. // Opt. Lett. – 1999. – **24**, N 1. – P. 49.
4. Romanov S.G., Maka T., Sotomayor Torres C.M. et al. // Appl. Phys. Lett. – 2001. – **79**, N 6. – P. 731.
5. Масалов В.М., Самаров Э.Н., Волкодав Г.И. и др. // Физика техники полупроводников. – 2004. – **38**, № 7. – С. 884.
6. Емельченко Г.А., Грузинцев А.Н., Ковальчук М.Н. и др. // Физика техники полупроводников. – 2005. – **39**, № 11. – С. 1375.
7. Kolk E. van der. VUV phosphors for lamp and display application. – Amsterdam: Elsevier, 2001.
8. Baroni S., Gironcoli S. de, Dal Corso A., Giannozzi P. // Rev. Modern Phys. – 2001. – **73**, N 2. – P. 515.
9. Vanderbilt D. //Phys. Rev. B. – 1990. – **41**, N 11. – P. 7892.
10. Басалаев Ю.М., Поплавной А.С. // Журн. структур. химии. – 2009. – **50**, № 6. – С. 1232.